

FACULTATEA DE CONSTRUCȚII
DEPARTAMENTUL DE CONSTRUCȚII METALICE ȘI MECANICA CONSTRUCȚIILOR
Str. Ioan Curea nr.1, 300224, Timișoara, ROMÂNIA
tel. 0256/403911; fax 0256/403917

Titlu proiect: Concepția structurală și proiectarea pe baza controlului mecanismului de cedare a structurilor multietajate supuse la acțiuni accidentale (CODEC)
Nr. contract: PN II nr. PCCA 55/2012

Raport etapa V/finala 2016

Denumire etapa:

Etapa IV: Studii de caz, prevederi de calcul și recomandări de alcătuire:

- Activitatea V.1: Proiectarea structurilor în cadre pe baza controlului mecanismului de cedare
- Activitatea V.2: Cerințe minime referitoare la conformarea și detalierea structurilor în cadre pentru creșterea rezistenței la colaps progresiv
- Activitatea V.3: Studii de caz privind aplicarea metodologiei de calcul la robustețe la proiectarea structurilor noi și la verificarea celor existente -partea 2
- Activitatea V.4: Organizare sesiune specială pe tema proiectului PCCA 55/2012 în cadrul celei de-a XXII-a conferințe The International Colloquia on Stability and Ductility of Steel Structures (SDSS), Timișoara, 2016

Cuprins:

1.	Rezumatul etapei	3
2.	Activitatea V.1: Proiectarea structurilor în cadre pe baza controlului mecanismului de cedare	3
2.1.	Parametri de modelare și criterii de acceptare pentru elemente și îmbinări	4
2.2.	Factori care afectează capacitatea ultima în domeniul deformațiilor mari a elementelor și îmbinărilor	5
2.3.	Evaluarea răspunsului dinamic al structurilor în cazul unor solicitări extreme cauzate de explozii	5
2.3.1.	Răspunsul structurii la acțiunea directă a exploziei.....	6
2.3.2.	Amplificarea dinamica cauzată de pierderea unui element principal de rezistență.....	6
3.	Activitatea V.2: Cerințe minime referitoare la conformarea și detalierea structurilor în cadre pentru creșterea rezistenței la colaps progresiv.....	7
4.	Activitatea V.3: Studii de caz privind aplicarea metodologiei de calcul la robustețe la proiectarea structurilor noi și la verificarea celor existente -partea 2.....	8
5.	Activitatea V.4: Organizare sesiune specială pe tema proiectului PCCA 55/2012 în cadrul celei de-a XXII-a conferințe The International Colloquia on Stability and Ductility of Steel Structures (SDSS), Timișoara, 2016.....	15
6.	Rezultate obținute în cursul anului 2016, modul de diseminare a rezultatelor	17
7.	Bibliografie	20

1. Rezumatul etapei

Etapa V/2016 a cuprins patru activități. Activitatea 1 a cuprins elaborarea unor prevederi referitoare la metodologia de proiectare a structurilor în cadre pe baza controlului mecanismului de cedare. În raport sunt prezentate contribuțiiile realizate în cadrul proiectului la dezvoltarea acestei metodologii, în special în continutul metodelor de analiza, a parametrilor de modelare și a criteriilor de acceptare pentru elemente și îmbinări.

Activitatea 2 a cuprins elaborarea unor cerințe minime referitoare la conformarea și detalierea structurilor în cadre pentru a limita avariile și a preveni colapsul progresiv în cazul unor acțiuni extreme. Aceste cerințe minime sunt deosebit de importante în special la proiectarea clădirilor de importanță normală, la care nu sunt necesare investigații directe asupra robustei. Au implicații și asupra clădirilor cu nivel de importanță ridicat, la care adoptarea acestor cerințe minime încă din faza de concepție și conformare conduce la intervenții reduse în structura în faza de verificare la situația accidentală de proiectare.

Activitatea 3 a avut ca obiectiv realizarea unor studii de caz pe mai multe tipuri de structuri în cadre, supuse la diverse scenarii de cedare. Structurile au fost proiectate folosind reglementările în vigoare, pentru acțiuni din situația permanentă și seismica de proiectare, fără însă să se considere și situația accidentală de proiectare. Clădirile sunt reprezentative pentru sistemele folosite în practica actuală. Pentru verificarea robustei structurilor – situația de proiectare accidentală, a fost folosită metoda cailor alternative de transfer, utilizând analize dinamice neliniare. Modelele folosite au fost inițial validate pe baza rezultatelor experimentale obținute în etapele anterioare ale proiectului. Rezultatele au permis aplicarea rezultatelor obținute în proiect la verificarea integrității structurii în cazuri extreme de solicitare și au arătat importanța tipului de îmbinare asupra capacitații ultime.

Activitatea 4 se referă la activitățile de diseminare a rezultatelor proiectului în cadrul unei sesiuni speciale ținute în cadrul Colocviului Internațional de Stabilitate și Ductilitate a Structurilor din Otel SDSS, desfășurat la Timișoara în luna mai 2016. Aceasta serie de manifestări a început în anul 1972, când la Paris s-a desfășurat primul colocviu de stabilitate, urmat printre altele de cel de la Lisabona, 2006 și Rio de Janeiro, 2010. La manifestarea științifică din 2016 au contribuit 270 de autori din 26 de țări de pe 5 continente, fiind prezentate un număr de 115 lucrări științifice. Cele șase lucrări realizate în cadrul proiectului CODEC au fost prezentate în cadrul Sesiunii nr. 6: Robustness.

2. Activitatea V.1: Proiectarea structurilor în cadre pe baza controlului mecanismului de cedare

Structurile pentru clădiri sau alte obiective civile și industriale trebuie proiectate și executate astfel încât să reziste la toate acțiunile care pot să apară pe durata lor de viață. Pentru clădiri (sau alte obiective) de importanță normală, acțiunile luate în considerare se limitează de regula la cele din situația permanentă și cea tranzitorie de proiectare. Pentru zone seismice, este necesară luarea în considerare a situației seismice de proiectare. Având în vedere probabilitatea lor redusa de apariție, situațiile accidentale de proiectare (generate de acțiunile accidentale, de exemplu impact, explozie) nu sunt în general luate în considerare în proiectare decât în cazuri excepționale. Pentru clădirile importante însă, chiar în condițiile unor probabilități reduse de producere, efectele acțiunilor accidentale trebuie luate în considerare, cerința principală fiind limitarea avariilor și prevenirea colapsului progresiv. Colapsul progresiv este un eveniment destul de rar și presupune prezenta unei acțiuni accidentale capabile să producă avarii locale semnificative (asupra elementelor principale ale structurii de rezistență) suprapusă peste vulnerabilități ale sistemului structural, cum ar lipsa continuuății între elemente, ductilitate sau redundanță necorespunzătoare, care nu are capacitatea de a retine integritatea sistemului și permite propagarea avariilor pana la cedări extinse sau complete ale structurii. Proiectarea directă a structurii la acțiuni de tip impact sau explozie permite identificarea și întărirea elementelor cheie direct afectate, reducând astfel nivelul și probabilitatea producerii unor avariilor. Cu toate acestea, chiar dacă o structură este proiectată să reziste unei acțiuni accidentale de o anumită intensitate, este necesară și verificarea prin calcul a riscului de producere a colapsului progresiv, deoarece intensitatea (și implicit posibilele efecte) unui astfel de eveniment nu poate fi controlată și limitată în întregime. Evaluarea rezistenței la colaps progresiv se poate face prin trei metode principale și anume: Metoda Forțelor de Legătura (Tie Forces TF), Metoda Rezistenței Locale Îmbunătățite (Enhanced Local Resistance ELR) și Metoda Cailor Alternative (Alternate Path AP). Folosirea primei metode este limitată la clădiri de importanță normală, în timp ce celelalte două se pot folosi, singure sau împreună, la clădiri de importanță ridicată. Controlul mecanismului de cedare prin combinarea celor două metode (ELR și AP) permite obținerea unor performante ridicate cu intervenții structurale minime:

- folosirea capacitații reziduale a unor elemente cheie, care poate fi îmbunătățita și luată în considerare în analiza fără scoaterea completă din structură. Un astfel de exemplu este deteriorarea parțială a stâlpilor sub acțiunea unei explozii, a unui impact sau temperatură ridicată (incendiu).

- utilizarea/ajustarea capacitații elementelor în funcție de cerințele rezultate din calcul. Un astfel de exemplu este creșterea capacitații

de deformare a grinziilor de la stadiul de încovoiere la stadiul catenar sau utilizarea unor sisteme de planșeu în conlucrare cu grinziile. În continuare se prezinta principalele contribuții aduse în cadrul proiectului la dezvoltarea metodologiei de calcul pe baza controlului mecanismului de cedare.

2.1. Parametri de modelare și criterii de acceptare pentru elemente și îmbinări

Parametrii de modelare și criteriile de acceptare pentru elemente și îmbinări trebuie să fie definite în funcție de metoda de analiza (statică, dinamică, liniara, neliniara) și de tipul de răspuns (liniar, neliniar, elastic, inelastic). În cazul utilizării metodelor neliniare (statică, dinamică), acești parametri trebuie să tina seama de particularitățile modului în care sunt solicitate elemente (comportare neliniare, deformare plastică, degradare, ecrusare, efecte dinamice asupra materialului). Astfel, pentru analiza de tip stâlp lipsă, fenomenul se produce aproape instantaneu (sub efectul unei explozii de exemplu, se poate considera că elementul este eliminat instantaneu) și expune structura unor efecte dinamice. De asemenea, elementele și îmbinările suferă o jumătate de ciclu de încărcare, de cele mai multe ori în prezența unor forțe axiale semnificative, cauzate de deformațiile mari și de răspunsul catenar. În aceste condiții, folosirea unor valori bazate pe procedurile de proiectare și modelare antiseismică (solicitare ciclică, viteza redusa) conduc la rezultate diferite, în special în ceea ce privește capacitatea de deformare. În cazul efectelor directe ale unei explozii pe de altă parte, acțiunea este de tip soc, ceea ce conduce la modificări substanțiale ale caracteristicilor mecanice ale materialului, în condițiile unor modificări reduse ale capacitații de deformare raportată la cea în condiții statice de solicitare.

Tabelul 1 prezintă parametrii principali de rezistență și deformare ai îmbinărilor grinda – stâlp obținuți experimental și validați numeric în cadrul proiectului. Cele patru tipuri de îmbinări studiate, folosite curent în practică, prezintă două tipuri distincte de răspuns și anume:

- Stadiul de încovoiere F: în acest stadiu eforturile sunt preponderente de încovoiere, cu sau fără forțe axiale (compresiune, întindere). Toate cele patru îmbinări studiate prezintă valori apropiate ale rotiri plastice pentru acest stadiu.
- Stadiul de încovoiere cu forță axială F+T: în acest stadiu eforturile de încovoiere scad și se dezvoltă forțe axiale de întindere. Cedarea finală se produce sub efectul combinat încovoiere – întindere. Dintre cele patru îmbinări studiate, doar trei au dezvoltat forțe catenare importante, în timp ce îmbinarea cu șuruburi EP a cedat direct efectul eforturilor de încovoiere.

Utilizarea în calcul a unui criteriu bazat pe capacitatea parțială F poate fi deci făcută pentru toate cele patru tipuri de îmbinări, fără verificări suplimentare asupra capacitații elementelor adiacente de a prelua forțele axiale suplimentare apărute. În cazul folosirii capacitații $F+T$, este necesară verificarea capacitații elementelor adiacente (stâlpilor) de a prelua forțele axiale apărute.

Spre deosebire de modelul folosit pentru articulațiile plastice în cazul calculului seismic, în cazul analizei de tip „stâlp lipsă” valoarea deformației plastice produse după atingerea capacitații maxime nu poate fi considerată în calcul în mod direct deoarece încărcarea gravitațională aferentă zonei afectate de pierderea unui stâlp nu se reduce pe durata evenimentului.

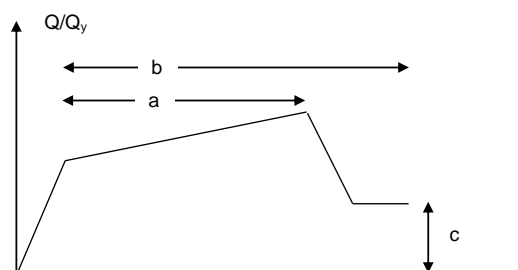


Fig. 1 Modelarea articulației generalizate forță - deformare

Tabelul 1: Proprietățile îmbinărilor grinda-stâlp

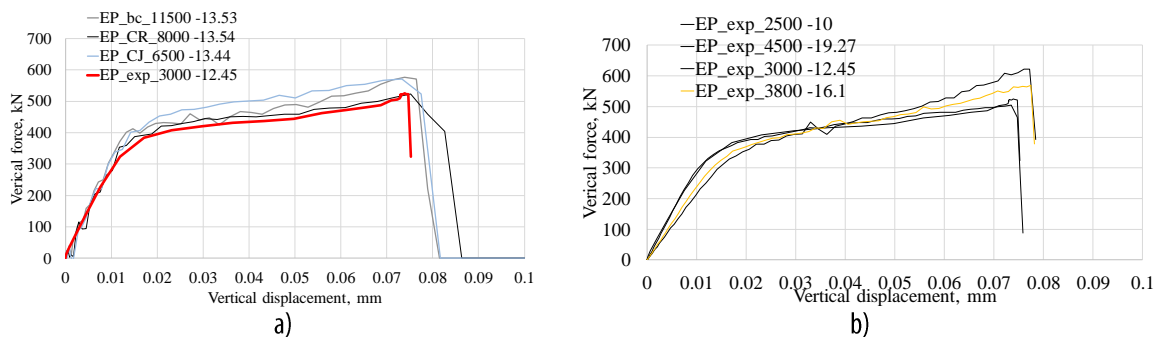
Tip îmbinare	Rotire plastică		Capacitate reziduală	Criteriu de acceptare	
	a	b		F	F+C
CWP	$13.8\theta_y$	-	-	$5\theta_y$	$13\theta_y$
EPH	$11.2\theta_y$	-	-	$5\theta_y$	$11\theta_y$
RBS	$13.5\theta_y$	-	-	$5\theta_y$	$13\theta_y$
EP	$4.2\theta_y$	-	-	$4\theta_y$	-

2.2. Factori care afectează capacitatea ultima a elementelor și îmbinărilor în domeniul deformațiilor mari

Capacitatea ultima de rezistență și deformare poate fi influențată de mai mulți parametri, printre care înălțimea secțiunii grinziilor, deschiderea acestora sau distribuția încărărilor gravitaționale pe grinzi. Pentru a evalua influența acestor parametri, au fost validate modele numerice și au fost realizate studii parametrice. În continuare se prezintă influența raportului L/h , unde L este deschiderea grinzi și h este înălțimea secțiunii grinzi, asupra capacitații de deformare ultima a grinziilor, pentru cele patru tipuri de îmbinări studiate. Tabelul 2 prezintă valorile rapoartelor L/h pentru diferite secțiuni și lungimi de grinda. În cazul încărărilor experimentale desfășurate în cadrul proiectului, valoarea raportului a fost de 12.45 ($L = 3.0\text{m}$, $h=220\text{mm}$). Se poate observa din Fig. 2 că pentru lungimi de grinda între 3.0 m și 16.0 m, dacă se utilizează secțiuni de diferite înălțimi, astfel că raportul L/h să varieze între 10 și 20, capacitatea ultima de deformare nu se modifică semnificativ.

Tabelul 2: Valorile rapoartelor L/h folosite în studiu

Lungime [m]	3	5	6.5	8	9.5	11.5	14	16
Secțiune grinda								
IPE450, $h=450\text{ mm}$		10.11	13.44	16.78	20.11			
IPE550, $h=550\text{ mm}$			10.82	13.55	16.27	19.91		
IPE750, $h=750\text{ mm}$				9.10		13.59	16.79	19.36
Experimental								
IPE220	12.45							



2.3. Evaluarea răspunsului dinamic al structurilor în cazul unor solicitări extreme cauzate de explozii

Răspunsul dinamic al unei structuri în cazul producerii unor acțiuni dinamice de tip explozie are două componente principale. Prima este cea a răspunsului structurii la acțiunea directă a exploziei. Cea de-a doua se referă la răspunsul structurii în urma cedării elementelor direct afectate de explozie sau a avarierii lor parțiale. În primul caz, unda de presiune eliberată în urma exploziei are o viteză mare de propagare, mergând de la circa 100 m/s pentru exploziile de gaz (deflație) până la circa 2000 m/s în cazul detonărilor. Intensitatea presiunii variază și ea de la sub 1 bar (în cazul deflației) și poate ajunge la peste 20 sau chiar 30 de bari, în cazul detonării unor materiale explozive de mare putere. Aceste acțiuni conduc la efecte dinamice importante și produc schimbări ale caracteristicilor mecanice ale materialelor (otel, beton). În cel de-al doilea caz, în urma cedării unui element (totală sau parțială), încărările gravitaționale sunt amplificate, amplitudinea depinzând în primul rând de nivelul deformației plastice din elemente. Efectele dinamice sunt mai reduse și în multe situații se pot neglija efectele asupra caracteristicilor mecanice ale materialelor. Studiile efectuate în cadrul proiectului au vizat ambele probleme, obținându-se rezultate experimentale și modele numerice de referință.

2.3.1. Răspunsul structurii la acțiunea directă a exploziei.

În acest prim caz, s-a reușit obținerea unor modele numerice pentru explozii cauzate de explozivi de mare putere produse la mica distanță de structura, modele validate pe baza de încercări experimentale. Aceste rezultate sunt cu atât mai importante cu cat, pe plan mondial, există puține rezultate similare de referință. Validările au fost folosite la programul de simulări numerice și la studiile de caz dezvoltate în cadrul activității V.3.

Deformația specifică:

$$\epsilon(t) = (L(t) - L_0)/L_0$$

în care:

L_0 este lungimea inițială, $L(t)$ este lungimea totală la timpul t .

Viteză de deformare este data de relația:

$$\dot{\epsilon}(t) = (d\epsilon)/(dt) = d/dt ((L(t) - L_0)/L_0) = 1/L_0 \quad dL/dt(t) = (v(t))/L_0$$

în care:

$v(t)$ este viteza de deformare

Fig. 3 prezintă variația în timp a vitezei de deformare pentru un element T-stub solicitat cu viteză diferite și anume $v = 11.4 \text{ mm/sec}$ și $v = 200 \text{ mm/sec}$. Se poate observa că viteza de deformare ajunge la valori ce depășesc 60 sec^{-1} .

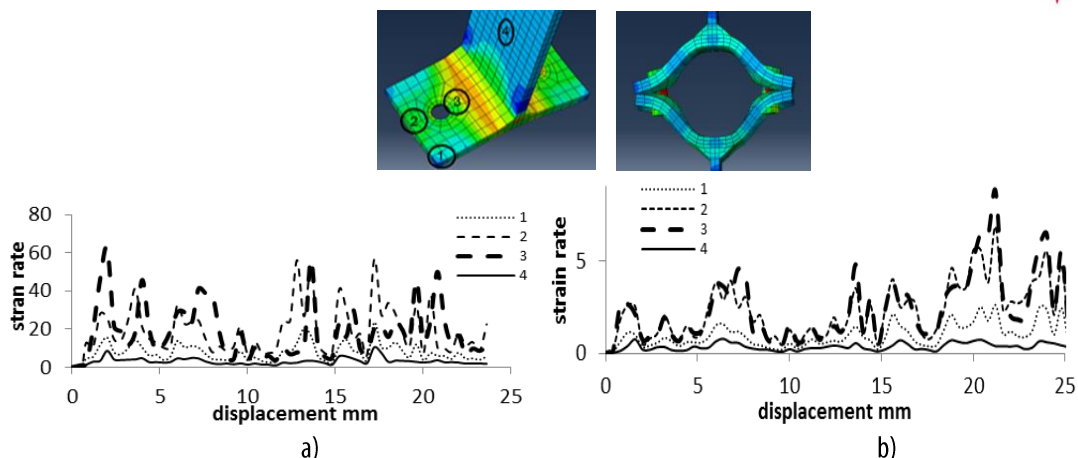
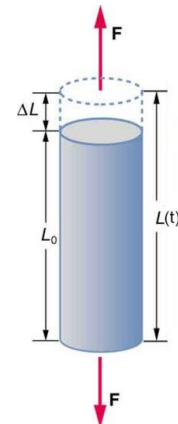


Fig. 3 Variația în timp a vitezei de deformare: a) $v = 11.4 \text{ mm/sec}$; b) $v = 200 \text{ mm/sec}$

2.3.2. Amplificarea dinamica cauzată de pierderea unui element principal de rezistență

În cel de-al doilea caz, pierderea parțială sau totală a unui element de rezistență principal (stâlp) conduce la efecte dinamice importante (amplificarea răspunsului comparativ cu cel sub acțiuni statice). În analiza la scenariu de tip stâlp lipsă, aceste efecte dinamice sunt luate în considerare prin intermediul unui factor de amplificare dinamica DIF, care se regăsește în ghidurile de calcul sub forma analitică sau se poate folosi o valoare acoperitoare maxima egală cu 2. Cercetările desfășurate în cadrul proiectului au arătat însă că pentru valori mari ale deformațiilor plastice, valoarea DIF poate fi subevaluată, conducând la rezultate eronate. Deoarece DIF se poate calcula folosind forte sau deplasări, au fost obținute rezultate importante asupra factorului de amplificare dinamica obținut pe baza deplasărilor în regim static și respectiv dinamic. De remarcat că acest factor bazat pe deplasări nu este încă reglementat în normativele sau ghidurile actuale.

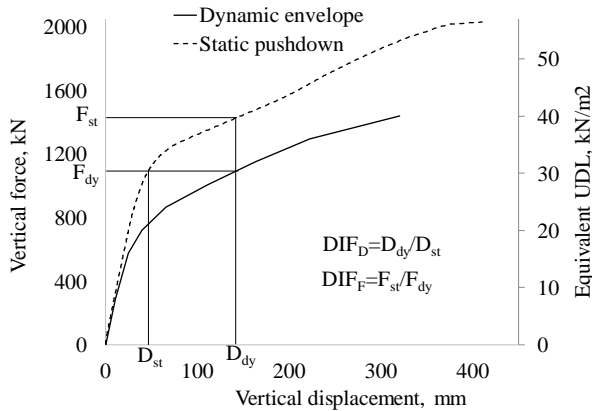


Fig. 4 Factorul de amplificare dinamica DIF

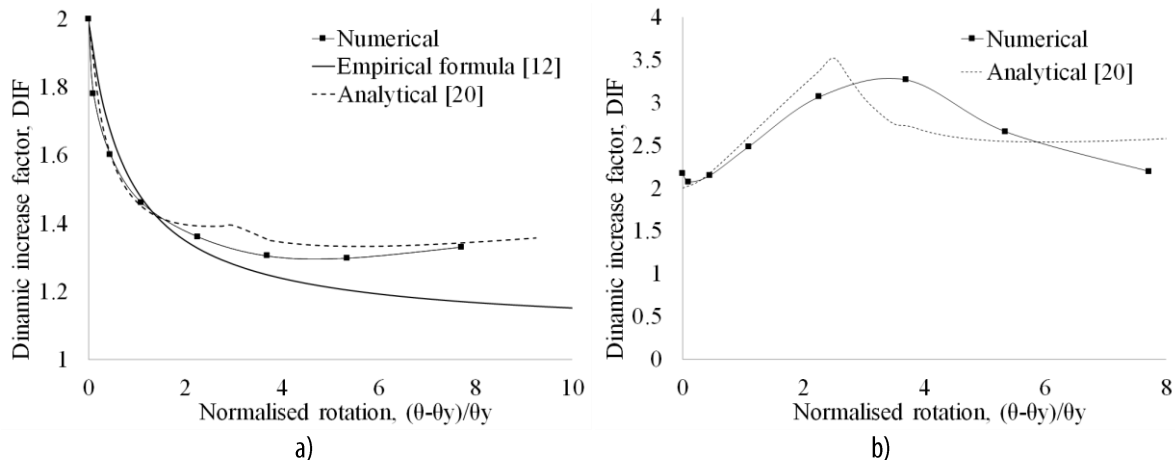


Fig. 5 Factorul de amplificare dinamica: a) calculat pe baza de forte, DIF_F ; b) calculat pe baza de deplasări, DIF_D

3. Activitatea V.2: Cerințe minime referitoare la conformarea și detalierea structurilor în cadre pentru creșterea rezistenței la colaps progresiv

Studiile efectuate în cadrul proiectului au arătat ca structurile pentru clădiri care folosesc configurații corespunzătoare prezintă rezistențe ridicate la colaps progresiv. Aceste caracteristici ridicate provin din folosirea unor îmbinări cu anumite capacitați minime, continuitate și legături minime între elemente, sisteme pe două direcții, conlucrare între grinzi și planșeu, detaliere corespunzătoare. Respectarea acestor recomandări, considerate minime, conduce la comportare corespunzătoare fără să aducă creșteri semnificative ale costurilor sau ale condițiilor tehnice de execuție și montaj.

Se prezintă în continuare pe tipuri de elemente și categorii de masuri câteva cerințe minime pentru creșterea rezistenței la colaps progresiv a structurilor în cadre pentru clădiri.

Caracteristici structurale

- Reducerea distanțelor maxime dintre elementele verticale de rezistență (stâlpi). Aceste cerințe conduc la capacitați ridicate de redistribuire în cazul cedării unui stâlp.
- Considerarea rezistențelor la colaps progresiv pe ambele direcții. Folosirea unor sisteme pe două direcții conduce la comportări mult îmbunătățite.
- Evitarea discontinuităților care pot conduce la concentrări de eforturi. Un exemplu îl constituie rezemarea stâlpilor pe grinzi.
- Folosirea unor sisteme regulate, cu alcătuire simetrică în plan conduce la capacitate ridicate de redistrubuire și la redundanță structurală crescută.

- Continuitatea elementelor și legături minime pe ambele direcții, de asemenea pe direcție verticală. Cerințele minime din norme prevăd capacitați minime de legătură pentru grinzi secundare, principale, pereți și stâlpi.
- Cadre perimetrale cu noduri rigide. Folosirea unor cadre perimetrale rigide crește capacitatea de redistribuție pe zonele cele mai vulnerabile de pe perimetru clădirii.

Caracteristici pentru grinzi

- Prevenirea pierderii stabilității laterale la încovoiere cu răscuire. Folosirea prevederilor seismice (legături minime pentru atingerea capacitații plastice și dezvoltarea de rotiri plastice) crește capacitatea de preluare a forțelor suplimentare apărute după producerea unor avarii locale. În cazul folosirii unor planșee compuse, capacitatea de interacțiune se poate reduce și poate apărea pierderea stabilității grinzi în special la deformații mari.
- Folosirea unor secțiuni cu capacitate de deformare ridicată (secțiuni de clasa 1, 2).
- Proiectarea și detalierea grinziilor pentru a dezvolta articulații plastice atât în sens pozitiv cât și negativ (momente pozitive, negative).
- Utilizarea de conectori pentru a se preveni desprinderea planșeului de grinda. În cazul planșelor realizate fără conlucrare, se pot dispune conectori pe grinzi secundare și pe cele principale (în afara zonelor critice).
- În cazul folosirii planșelor compuse, calculul grinziilor fără folosirea sprijinirilor aduce un surplus de capacitate în cazul producerii unor avarii locale.

Caracteristici pentru îmbinări

- Folosirea de șuruburi de înaltă rezistență (grupele 8.8 HR și 10.9 HR/HV) previne ruperea fragilă în îmbinări.
- În cazul îmbinărilor EPH, există riscul cedării prematură a îmbinării la momente pozitive (la partea de sus a grinzi). Simetrizarea îmbinării se poate face prin dispunerea unor rigidizări la partea superioară.
- Suduri cu prelucrare și control care să prevină ruperile fragile în suduri sau zonele afectate termic (HZA). Reducerea secțiunii grinziilor (RBS) previne concetrările de eforturi în suduri și asigură o capacitate ridicată de rezistență și deformare plastică. Aceasta soluție este preferabilă soluțiilor care folosesc îmbinări cu rezistență completă (EPH, CWP), care sunt mai costisitoare.
- În cazul grinziilor secundare prinse cu șuruburi, se pot prevedea rezistențe minime astfel încât să se evite ruperea din forfecare, în bloc sau la întindere (sub forțe axiale dezvoltate în domeniul deformațiilor mari).
- Folosirea de îmbinări precalificate pe baza de încercări experimentale. Crearea unei baze de date cu îmbinări precalificate la colaps progresiv este încă în fază preliminară.
- Folosirea unor îmbinări rigide pe ambele direcții (two way systems). Încercările pe subansambluri au aratat că aceste soluții sunt superioare ca performanțe celorlalte sisteme structurale, având o capacitate ridicată de redistribuire a eforturilor.

Caracteristici pentru stâlpi

- Verificarea stâlpilor pentru lungimi de flambaj mai mari (cauzate de pierderea legăturii cu grinzi la un nivel), forțe axiale mai mari (care apar după redistribuirea încărcărilor), verificarea la interacțiune M-N cu valorile momentelor plastice din grinzi.
- Folosirea unor secțiuni cu capacitate de deformare ridicată (secțiuni de clasa 1, 2).
- Înglobarea în beton (partială, totală). Această soluție asigură o capacitate ridicată de rezistență la o acțiune directă de tip foc sau explozie.
- Suduri cu prelucrare și control pentru secțiunile sudate.
- Conceptul stâlp tare-grinda slabă (vezi prevederile seismice).
- Placi de continuitate pe stâlpi.
- Îmbinări de continuitate calculate pe baza de capacitate.
- Cerințe minime de reziliență pentru material.

4. Activitatea V.3: Studii de caz privind aplicarea metodologiei de calcul la robustețe la proiectarea structurilor noi și la verificarea celor existente -partea 2

Studiile de caz au analizat influența condițiilor de proiectare antiseismică asupra capacitații structurilor în cadre de a preveni producerea colapsului progresiv la pierderea unor stâlpi. Au fost analizate patru variante de alcătuire, fiecare folosind cate un tip de îmbinare din cele 4 studiate experimental în cadrul proiectului. Pentru studiu au fost proiectate structuri cu geometrie identică pentru trei zone seismice diferite. Structura de 6 etaje (vezi Fig. 6) are o înălțime de nivel de 4 m pentru fiecare etaj și 4 deschideri de 8 m atât

pe direcția transversala cat și pe cea longitudinala. În calcul s-a considerat o încărcare utilă de 4 kN/m^2 și respectiv o încărcare permanentă de 4 kN/m^2 . Cerințele seismice variază atât din punctul de vedere al accelerării de vârf a terenului cat și din cel al perioadei de colt a terenului, corespunzătoare celor 3 amplasamente diferite și anume Cluj-Napoca (seismicitate redusa), Craiova (seismicitate medie) și Bucuresti (seismicitate ridicata) (conform P100-1/2013) [1], vezi Tabelul 3.

Analiza globală s-a efectuat în programul SAP2000 [2]. Proiectarea structurilor s-a făcut ținând cont de rigiditatea îmbinărilor și de zonele întărite de pe grinda, respectiv zonele reduse din acestea modelând-se elemente și legături cu proprietăți corespunzătoare îmbinărilor/zonelor adiacente îmbinării, vezi Fig. 7. Îmbinările cu șuruburi (EP și EPH) au fost calculate folosind STeel CONnection [3], în conformitate cu EN 1998-1 [4] și EN 1993-1-8 [5]. Îmbinarea cu placi sudate pe tâlpi (CWP) a fost proiectată în conformitate cu secțiunea 3.5.4 *Îmbinări cu plăci sudate pe tâlpi* din capitolul 3 PRECALIFICAREA IMBINARILOR din norma americană FEMA 350 [6], iar îmbinarea cu secțiune redusa (RBS) a fost proiectată în conformitate cu capitolul 5 din ANSI/AISC 358-10 [7]. Datorita proprietăților diferite ale îmbinărilor, pentru aceeași locație, au rezultat soluții cu secțiuni diferite de grinzi și stâlpi. Deoarece lungimile de grindă întărătită pentru EPH au fost alese identice cu cele pentru CWP, structurile rezultate pentru cele două tipuri de îmbinări, respectiv rapoartele de solicitare sunt identice.

Structurile amplasate în zona cu seismicitate redusa (Cluj-Napoca) au fost proiectate din situația permanentă de proiectare (încărcări gravitaționale), în timp ce cele din zona de seismicitate medie și ridicată (Craiova, București) au fost proiectate din cerințele aferente situației seismice de proiectare. Întrucât încărcările gravitaționale sunt aceleași pentru toate structurile, rezultă secțiuni cu rezerve mari de capacitate (pentru Craiova și București) pentru încărcările gravitaționale, față de structurile din Cluj. Raportul de capacitate este prezentat în Tabelul 4, iar dimensiunile îmbinărilor în

Tabelul 5.

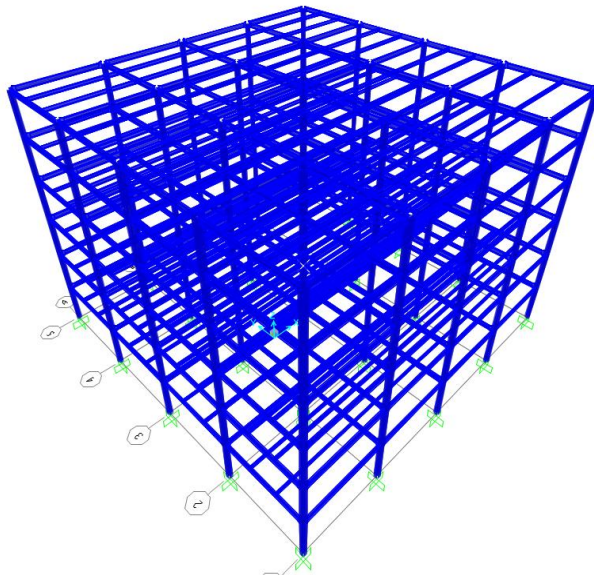


Fig. 6 Vederea 3D a structurii din studiu de caz

Tabelul 3: Cerințele seismice pentru structuri și secțiunile rezultate

Nume	Locatie	T_c	a_g	stalpi	Grinzi RBS & EP	Beams CWP & EPH
LSZ	Cluj-Napoca	0.7	0.1	Cruce HEB450	IPE450	IPE400
MSZ	Craiova	1.0	0.2	Cruce HEB550	IPE550	IPE500
HSZ	Bucuresti	1.6	0.3	Cruce HEB900	IPE750X137	IPE600

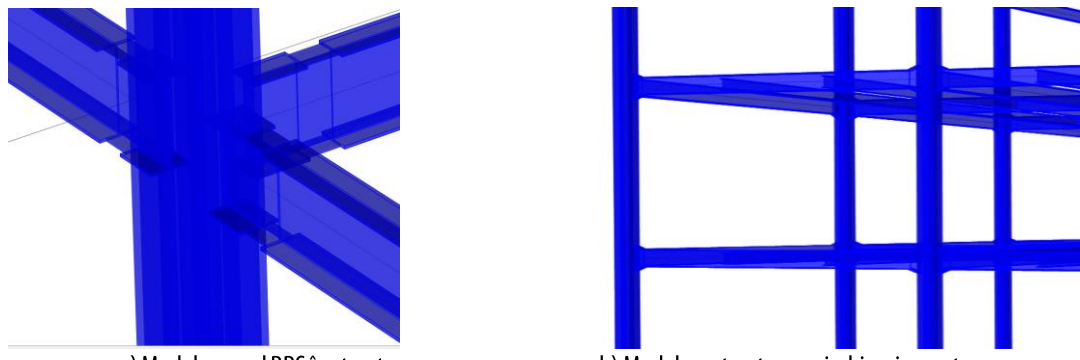


Fig. 7 Modelarea detaliată a îmbinărilor din structuri

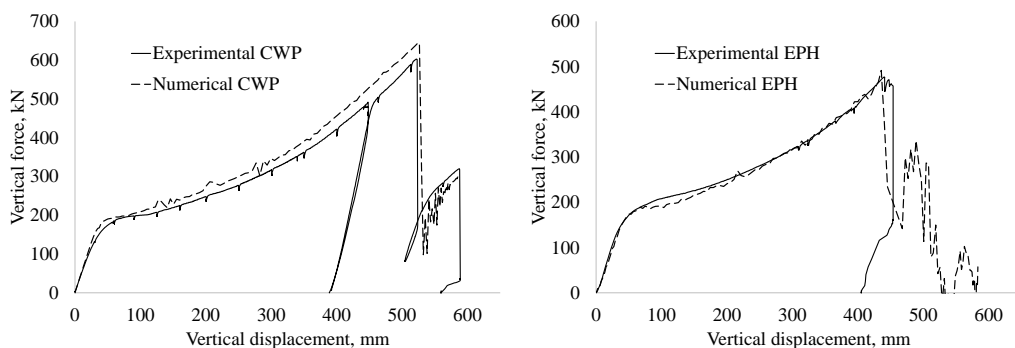
Din structurile proiectate au fost extrase cadre perimetrale de la parter (vezi Fig. 9 și Fig. 10) și prelungirea stâlpilor, din care cele două cadre centrale au fost modelate detaliat cu elemente de tip solid, modelând inclusiv toate componentele îmbinării (Fig. 11) în programul de analiza cu element finit Abaqus [8]. Cadrele laterale au fost modelate cu elemente de tip bara, pentru a simula rigiditatea laterală a sistemului. Prezenta grinzilor secundare a fost considerată prin dispunerea de elemente în locația acestora care să prevină deplasările cadrului în afara planului. Modelarea s-a făcut pornind de la modelele calibrate după încercările experimentale pe noduri, rezultatele fiind prezentate în Fig. 8.

Tabelul 4: Raportul de capacitate – din combinația fundamentală (1.35G+1.5L) pt cea mai solicitată grinda

	RBS	EP	CWP, EPH
LSZ	0.875	0.836	0.781
MSZ	0.471	0.586	0.505
HSZ	0.256	0.231	0.29

Tabelul 5: dimensiunile îmbinărilor [mm]

	EPH		EP		CWP			RBS		
	Șurub	Pl de capăt	Șurub	Pl de capăt	Lp	Bp	tp	a	b	c
LSZ	M24	30	M24	25	230	220	18	100	360	30
MSZ	M27	30	M27	28	240	240	24	110	450	32
HSZ	M30	35	M27	30	350	260	28	150	600	40



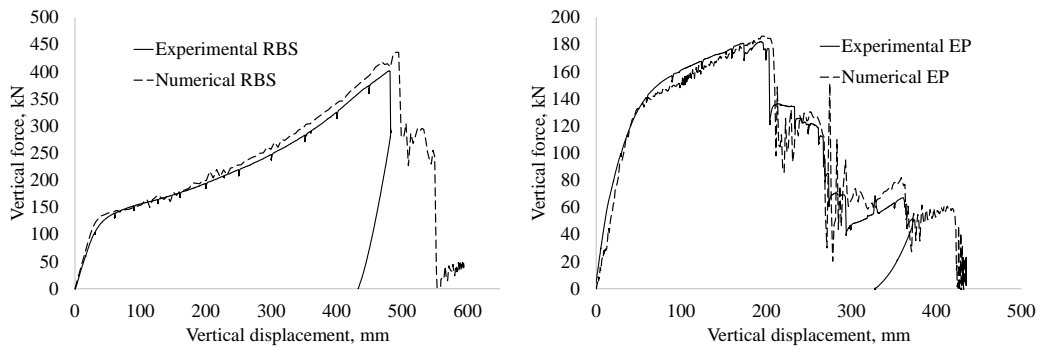


Fig. 8 Curba forță-deplasare pentru cele 4 tipuri de noduri încercate - experimental și numeric

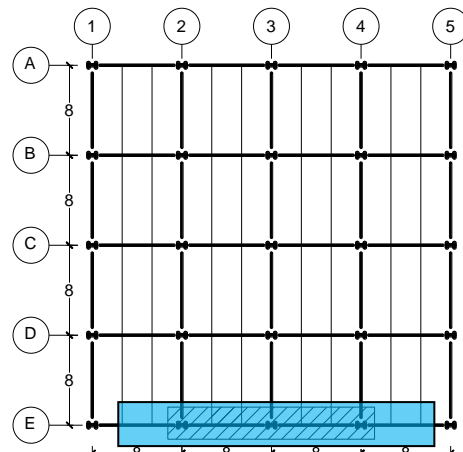


Fig. 9 Extragerea cadrului pentru modelarea detaliată în Abaqus

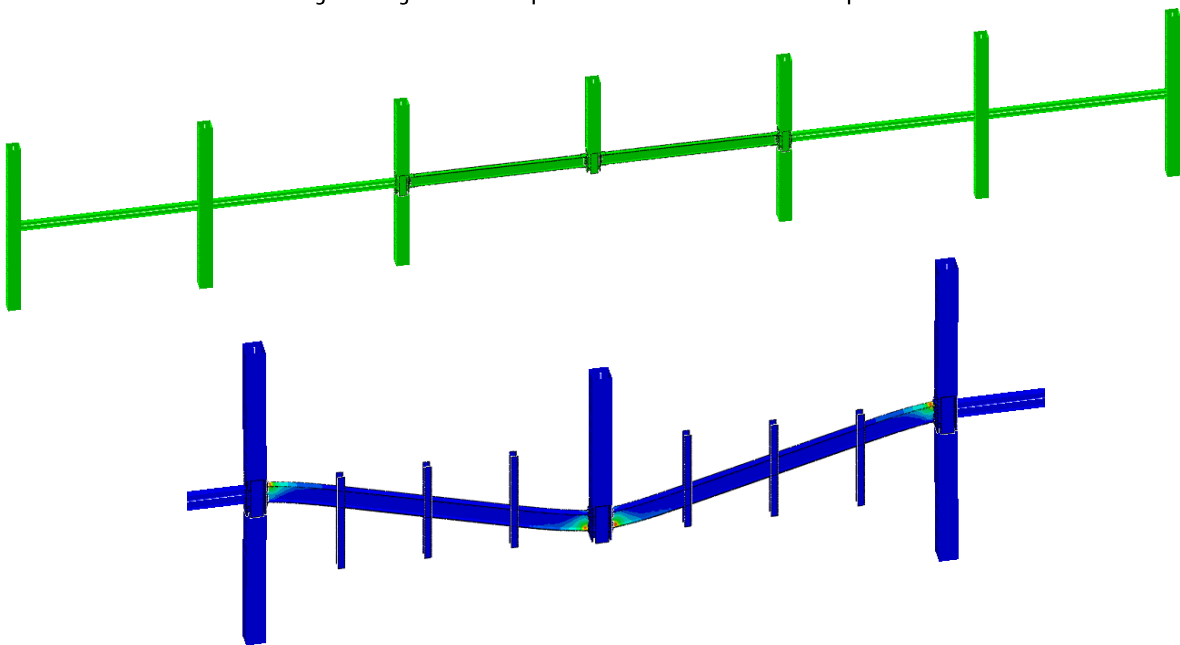


Fig. 10 Modelarea detaliată a cadrului în Abaqus

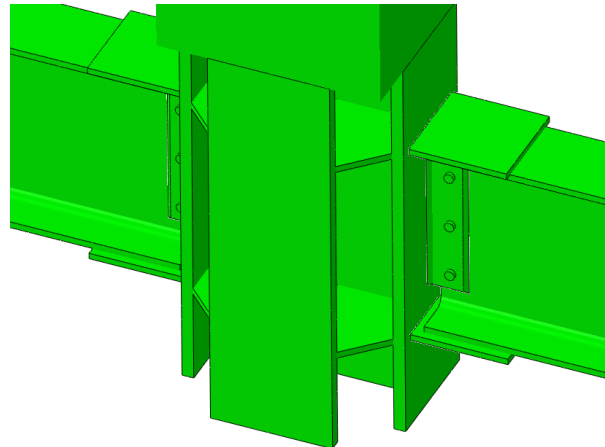


Fig. 11 Modelarea detaliata a nodului central

Încărcarea cadrelor a urmat protocolul experimental, fiind impusă o deplasare verticală în regim static monoton la varful stalpului central. Modul de cedare a imbinarilor s-a pastrat pentru toate imbinările din aceeași tipologie, vezi Fig. 12. Pentru imbinările CWP, placă adițională sudată peste talpa intinsă a imbinării cedează în întindere în zona libera langa sudura cu stalpul concomitent cu ruperea în zona netă a placutei de forfecare. Imbinările cu vuta (EPH) au cedat prin ruperea la întindere a suruburilor din imbinare în randurile de langa talpa intinsă nerigidizată de vuta. Imbinarea sudată cu secțiunea redusă (RBS) cedează prin ruperea la întindere a talpii în zona redusa. Pentru imbinarea cu placă de capat cu suruburi (EP), ruperea se produce la deplasari și forțe mici comparativ cu celalalte tipuri de imbinări, prin rupere suruburilor de langa talpa intinsă.

Au fost extrase curbele forța-deplasare care sunt prezентate comparativ pentru aceleasi tipuri de imbinări pe amplasamente diferite în Fig. 13.a. Din imbinări, în secțiunea unde s-a format articulația plastică în grinda, au fost extrase momentul incovoiator și forța axială și sunt prezентate în Fig. 13.b și respectiv Fig. 13.c, după normalizarea acestora în raport cu capacitatea grinzi.

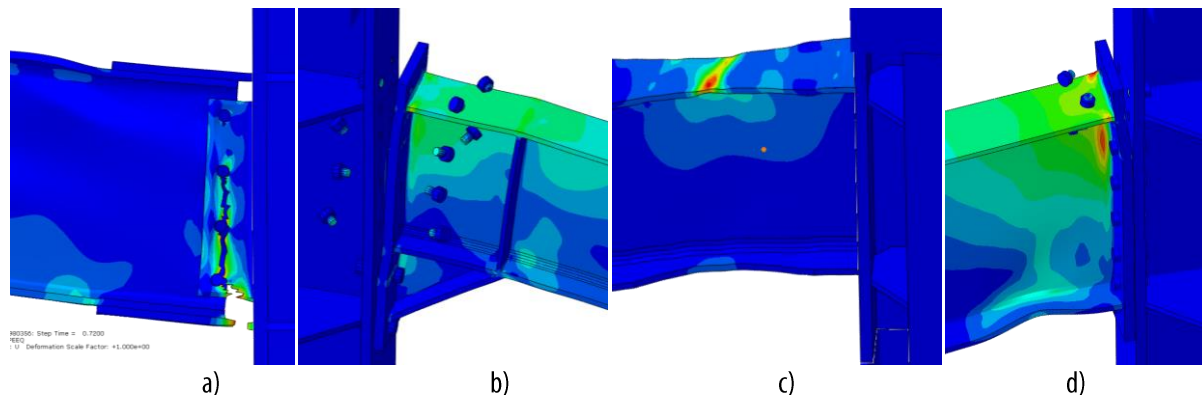


Fig. 12 Modul de cedare a imbinărilor: a) CWP; b) EPH; c) RBS; d) EP

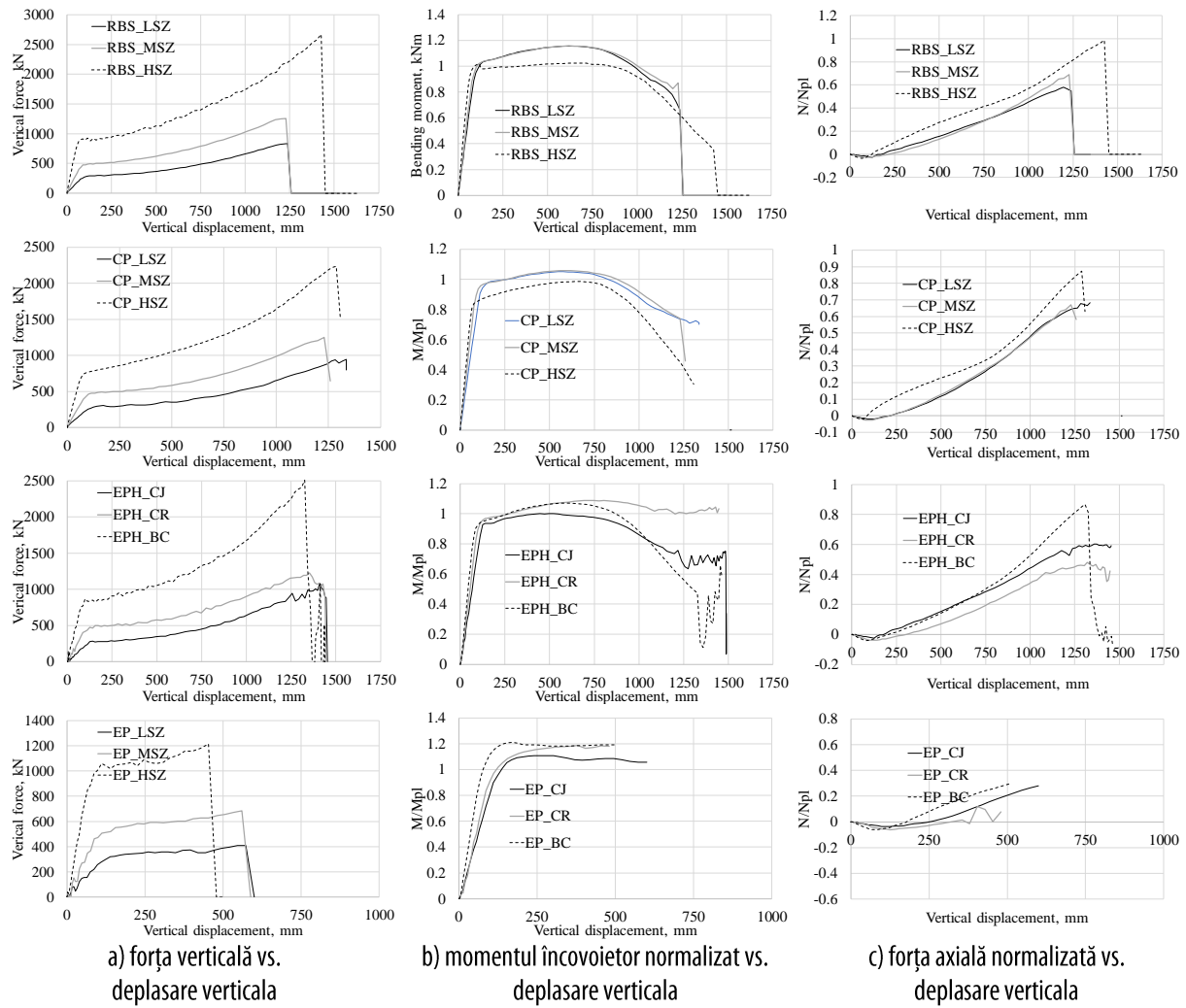


Fig. 13 Forță verticală, momentul încovoietor și forță axială în îmbinare raportata la deplasarea verticală

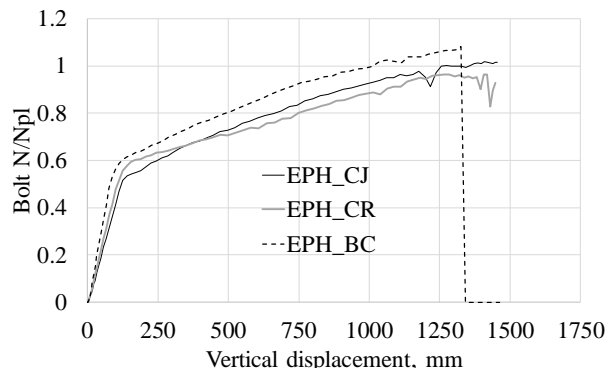


Fig. 14 Forță axială în șuruburi raportata la capacitate pentru cele mai solicitate rânduri de șuruburi (pentru îmbinările EPH și EP)

Pentru imbinarea RBS, o crestere a capacitatii ar insema intarirea zonei reduse (zona unde se produce cedarea), intarire care ar modifica modul de comportare în cazul unei actiuni seismice. Acest tip de imbinare nu poate fi imbunatatit la interacțiunea M-N și ofera o ductilitate ridicata a structurii pentru a dezvolta forte catenare semnificative, astfel incat proiectarea pentru cazul cedarii unui stalp nu ar trebui sa urmeze alti pasi fata de proiectarea seismică pentru detalierea nodului.

Au fost evaluate soluții pentru imbunatatirea performanțelor imbinării pentru EP, EPH și CWP astfel încât cedarea să se producă în grinda, pentru a asigura ductilitatea și capacitatea de rezistență maximă pe care o poate avea sistemul. În cazul imbinării CWP, au fost marite ariile placilor sudate de talpi prin creșterea grosimii acestora. Imbinările EP și EPH au fost întărite prin mărirea diametrelor suruburilor și respectiv a grosimii placii de capat. Pentru EPH, au fost întărite doar suruburile din zona talpii nerigidizate de vata.

Tabelul 6: Modificarea parametrilor imbinării [mm]

CWP		EPH				EP			
seismic	robustness	seismic	robustness	seismic	robustness	seismic	robustness	seismic	robustness
Cover plate thickness								bolt	end-plate
LSZ	18	24	M24	30	M27	35	M24	25	M30
MSZ	24	28	M27	30	M30	35	M27	28	M36
HSZ	28	35	M30	35	M36	40	M27	30	M36

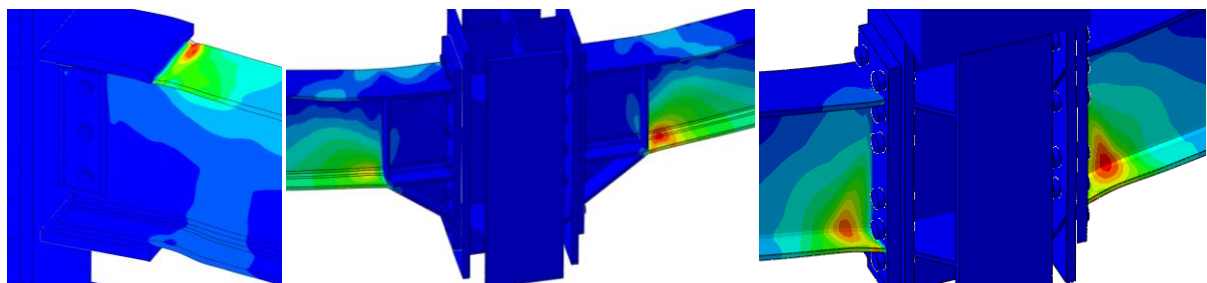


Fig. 15 Zonele critice (de cedare) după întărire

Soluțiile imbunatatite au fost supuse aceluiași protocol de încarcare pentru cadre în analiza FEM. Curbele comparative forță-deplasare sunt prezентate în Fig. 16. Cele mai mari creșteri de capacitate s-au înregistrat în cazul imbinărilor EP. Pentru aceasta imbinare au fost efectuate analize structurale pe întreaga clădire în regim static și dinamic în cazul cedării stalpului central C2 prin programul care folosește Metoda Elementului Aplicat – ELS [9], vezi Fig. 18. Rezultatele analizelor sunt prezентate în Fig. 19.

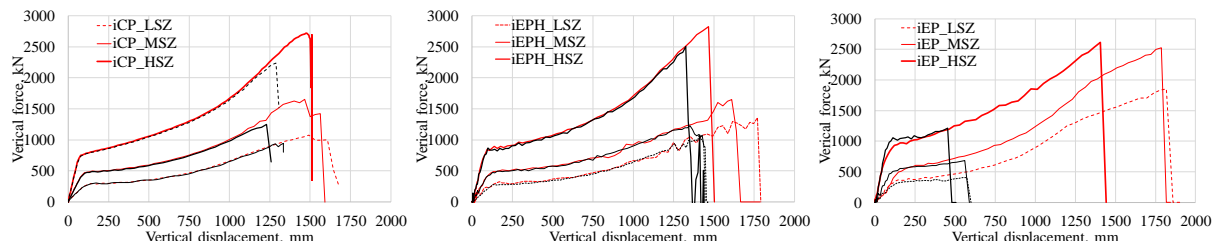


Fig. 16 Comportarea imbinărilor dimensionate pentru interacțiunea M-N fata de cele dimensionate din seism

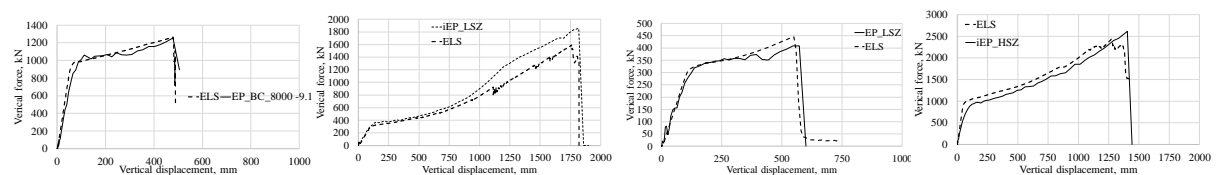


Fig. 17 Calibrarea modelului din ELS pentru pe baza rezultatelor FEM

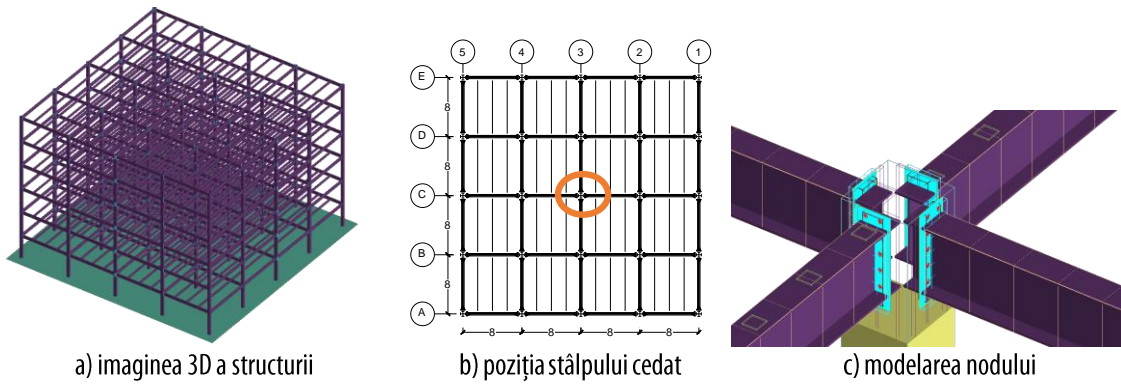
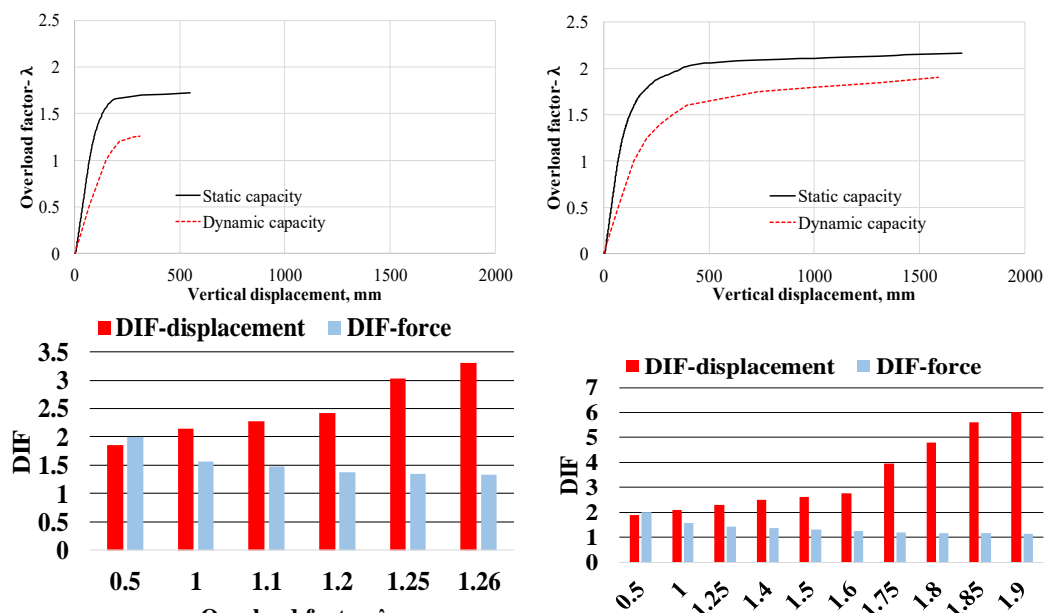


Fig. 18 Analiza globală (AEM) în ELS



a) proiectare seismică
 b) detaliere îmbunătățită
 Fig. 19 Factorul de supraîncărcare vs. deplasarea maxima corespunzătoare și DIF pentru structura LSZ-EP

5. Activitatea V.4: Organizare sesiune specială pe tema proiectului PCCA 55/2012 în cadrul celei de-a XXII-a conferințe The International Colloquia on Stability and Ductility of Steel Structures (SDSS), Timișoara, 2016

Activitatea 4 a cuprins acțiunile de diseminare a rezultatelor proiectului în cadrul unei sesiuni speciale ținute în cadrul Colocviului Internațional Stabilitatea și Ductilitatea Structurilor din Otel SDSS, desfășurat la Timișoara, în luna mai, 2016. Aceasta serie de manifestări a început în anul 1972, când la Paris s-a desfășurat primul colocviu de stabilitate, urmat printre altele de cel de la Lisabona, 2006 și Rio de Janeiro, 2010. La evenimentul din 2016 au contribuit 270 de autori din 26 de țari, fiind prezentate un număr de 115 lucrări științifice. Cele șase lucrări realizate în cadrul proiectului CODEC au fost prezentate în cadrul Sesiunii nr. 6: Robustness. În total, lucrările au cuprins un număr de 14 autori, patru dintre cele 6 lucrări prezentate având colective alcătuite din autori de la cel puțin doi parteneri din proiect.

 <p>EXPERIMENTAL TESTING OF 3D STEEL FRAME WITH COMPO-SITE BEAMS UNDER COLUMN LOSS</p> <p>F. Dinu^{a,b}, I. Marginean^a, D. Dubina^{a,b}, I. Petran^c, M. Pastrav^d, A. Sigauan^a ^a Politehnica University of Timișoara ^b Romanian Academy, Timisoara Branch ^c Technical University of Cluj-Napoca ^d INCD URBAN-INCERC (Cluj Branch)</p> <p>UP </p>	 <p>EFFECTS OF CLOSE RANGE BLASTS ON STEEL FRAMES EXPERIMENTAL TESTING AND NUMERICAL VALIDATION</p> <p>F. Dinu^{a,b}, I. Marginean^a, A. Kovacs^c, E. Ghicioi^c, D. Vasilescu^c ^a Politehnica University of Timișoara ^b Romanian Academy, Timisoara Branch ^c INCD INSEMEX Petroșani</p> <p>UP </p>
 <p>EXPERIMENTAL EVALUATION OF PROGRESSIVE COLLAPSE RESISTANCE OF STEEL MOMENT FRAME CONNECTIONS</p> <p>Florea Dinu^{1,2}, Ioan Marginean¹, Dan Dubina^{1,2}, Calin Neagu¹ ¹ Politehnica University of Timișoara ² Romanian Academy, Timisoara Branch</p> <p>UP </p>	 <p>NUMERICAL MODELING OF DYNAMIC RESPONSE OF STEEL MOMENT FRAMES FOLLOWING SUDDEN COLUMN LOSS</p> <p>I. Marginean^a, F. Dinu^{a,b}, D. Dubina^{a,b}, I. Petran^c, M. Senila^c, H. Szilagyi^d ^a Politehnica University of Timișoara ^b Romanian Academy, Timisoara Branch ^c Technical University of Cluj-Napoca ^d INCD URBAN-INCERC (Cluj Branch)</p> <p>UP </p>
 <p>PROGRESSIVE COLLAPSE OF MULTI-STOREY STEEL FRAME BUILDINGS: DEVELOPING CATENARY ACTION</p> <p>Andreea Sigauan^a, Florea Dinu^{a,b}, Dan Dubina^{a,b} ^a Politehnica University of Timișoara ^b Romanian Academy, Timisoara Branch</p> <p>UP </p>	 <p>T-STUBS RESPONSE TO EXTREME LOADING</p> <p>Ioan Both¹, Raul Zaharia¹, Ioan Mărginean¹, Calin Neagu¹, Florea Dinu^{1,2}, Dan Dubina^{1,2}, ¹ Politehnica University of Timișoara ² Romanian Academy, Timisoara Branch</p> <p>UP </p>

Fig. 20 Lucrările publicate în volumul Colecțiului SDSS 2016 și prezentate în cadrul sesiunii nr. 6 "Robustness"

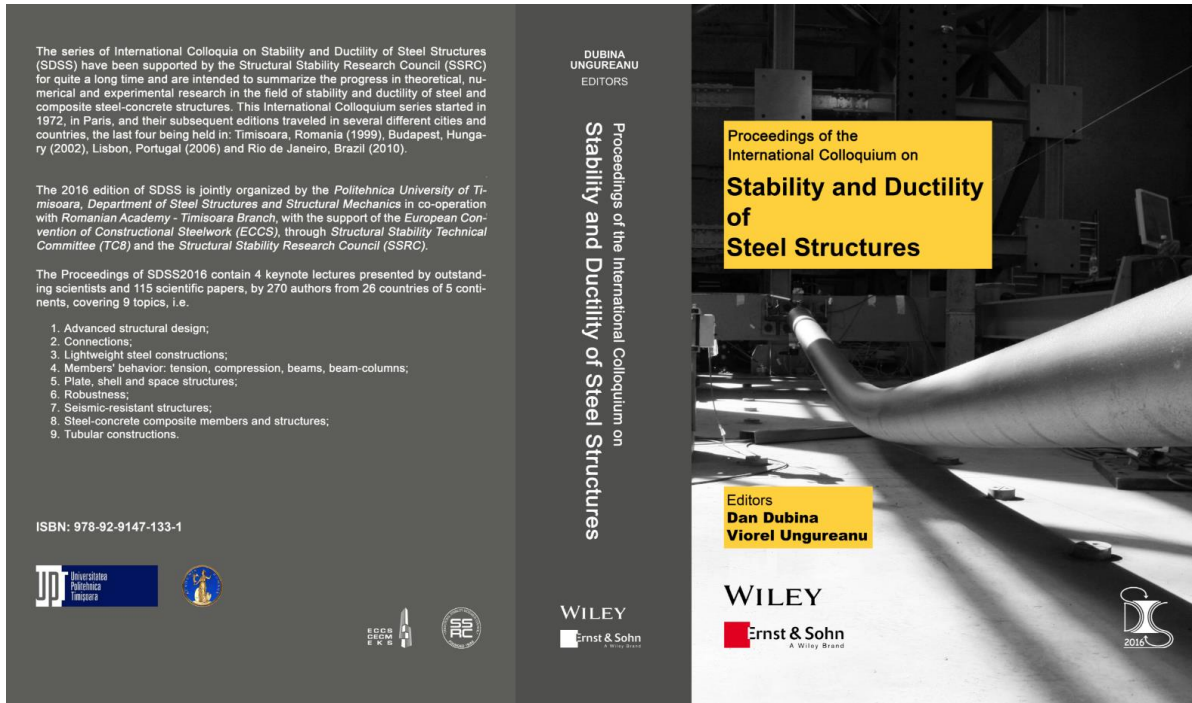


Fig. 21 Coperta volumului colocviului internațional SDSS 2016



Fig. 22 Vederi din timpul sesiunii

6. Rezultate obținute în cursul anului 2016, modul de diseminare a rezultatelor

Rezultatele obținute în etapa V/2016 au fost prezentate pe scurt în secțiunile 2-4. Echipele implicate au fost compuse din cercetători și tehnicieni de la toți partenerii implicați în proiect. De o importanță deosebită sunt modelele numerice dezvoltate și validate pe baza datelor obținute în cadrul testelor experimentale. Acestea se adaugă modelelor pe macrocomponente și pe noduri deja finalizate în etapa III/2014 și IV/2015. Programele folosite, respectiv Abaqus și ELS sunt de referință pe plan mondial și permit extinderea cercetărilor prin intermediul unor programe de simulare numerică extinse.

Impactul cercetării reprezintă un element important pentru un proiect de cercetare. De aceea, s-a urmărit valorificarea acestor rezultate prin publicarea unor lucrări de cercetare în cadrul unor manifestări științifice naționale și internaționale, în jurnale de specialitate, comitete tehnice internaționali (ECCS TC10, ECCS TC13) și de asemenea prin pregătirea unor propunerile de proiecte de cercetare internaționale.

Mai jos se prezintă lista lucrărilor, a prezentărilor și a propunerilor de proiect rezultate din activitățile desfășurate în cursul anului 2016. Este de menționat în special suportul oferit de rezultatele obținute în acest proiect la pregătirea a două propunerile de proiect FP7/RFCs, împreună cu parteneri din cercetare și industrie din Europa și de asemenea a unui Proiect experimental demonstrativ (PN-III-P2-2.1-PED-2016-0962), competitia 2016 (împreună cu partenerul P3 - INSEMEX), propunere care a obținut la evaluare 93 de puncte (locul 19 din 351 de propuneri). Pentru anul viitor sunt în pregătire mai multe lucrări de cercetare, rezumatele lucrărilor fiind deja trimise și acceptate (Eurosteel 2017, CM2017).



Fig. 23 Ședință final de proiect, laboratorul de Construcții Metalice, Departamentul CMMC, Universitatea Politehnica Timișoara

Lucrări prezentate ca poster în cadrul unor conferințe internaționale

1. A. Sigauan, F. Dinu, I. Marginean, D. Dubina and C. Neagu, Column removal considerations for resistance to progressive collapse of steel frame buildings, Seventh International Conference on Engineering Failure Analysis, Leipzig, Germania

Lucrări publicate și prezentate oral în cadrul unor conferințe internaționale

1. Sigauan, A., Dinu, F., Dubina, D., Selected failure scenarios for collapse prevention design of multistory steel building frames, in Proceedings of the 11th Pacific Structural Steel Conference, 2016, Shanghai, China.
2. Dinu, F., Marginean, I., Dubina, D., Petran, I., Pastrav, M., Sigauan, A. and Ciutina, A. Experimental testing of 3D steel frame with composite beams under column loss. in The International Colloquium on Stability and Ductility of Steel Structures SDSS 2016, Timisoara, Romania.
3. Dinu, F., Mărginean, I., Dubina, D. and Neagu, C. Experimental evaluation of progressive collapse resistance of steel moment frame connections. in The International Colloquium on Stability and Ductility of Steel Structures SDSS, 2016, Timisoara, Romania.
4. Both, I., Mărginean, I., Neagu, C., Dinu, F., Dubina, D. and Zaharia, R. T-stubs response to extreme loading. in The International Colloquium on Stability and Ductility of Steel Structures SDSS 2016, Timisoara, Romania.
5. Marginean, I., Dinu, F., Dubina, D., Petran, I., Senila, M. and Szilagyi, H. Numerical modeling of dynamic response of steel moment frames following sudden column loss. in The International Colloquium on Stability and Ductility of Steel Structures SDSS 2016, Timisoara, Romania.
6. Sigauan, A., Dinu, F., Dubina, D. Progressive collapse of multi-storey steel frame buildings: developing catenary action, in The International Colloquium on Stability and Ductility of Steel Structures SDSS 2016, Timisoara, Romania.
7. Dinu, F., Marginean, I., Sigauan, A., Kovacs, A., Ghicioi, E. and Vasilescu, D. Effects of close range blasts on steel frames. Experimental testing and numerical validation. in The International Colloquium on Stability and Ductility of Steel Structures, in The International Colloquium on Stability and Ductility of Steel Structures SDSS 2016, Timisoara, Romania.
8. Dinu, F., Mărginean, I., Sigauan, A., Dubina, D., Influence of composite slabs and beams on the progressive collapse resistance of steel frame buildings, in 5th International Conference INTEGRITY - RELIABILITY – FAILURE, 2016, Porto, Portugal.
9. Dinu, F., Mărginean, I., Dubina, D., Petran, I., Sigauan, A., Experimental research on the behavior of steel moment frame connections under column loss scenario, in Proceedings of the Eighth International Workshop on Connections in Steel Structures, Boston, USA, 2016 (in print).

Lucrări publicate în reviste de specialitate ISI

1. Florea Dinu, Ioan Marginean, Dan Dubina (2016) Experimental testing and numerical modelling of steel moment-frame connections under column, Engineering Structures – in review.
2. Florea Dinu, Ioan Marginean, Dan Dubina, Ioan Petran (2016), Experimental testing and numerical analysis of 3D steel frame

system under column loss. Engineering Structures, (Factor de impact 1.893) 113 59-70, 2016
<http://dx.doi.org/10.1016/j.engstruct.2016.01.022>

Lucrări de dizertatie (Master) elaborate cu sustinere din cadrul proiectului

1. Giulio Fumarola - Numerical Modelling Of Column Loss Scenarios, Coordonator, Drd.ing. Ioan-Marginean. lucrare elaborata prin programul de mobilitate *ERASMUS*
2. Ghazanfar Ali - Properties of T-Stub components of extended end plates bolted joints in catenary action stage, Coordonator Florea Dinu, lucrare elaborata prin programul international European Erasmus Mundus Master Course - 520121-1-2011-1-CZ-ERA MUNDUS-EMMC, Sustainable Constructions under Natural Hazards and Catastrophic Events

Cursuri elaborate cu sustinere din cadrul proiectului

1. European Erasmus Mundus Master Course - 520121-1-2011-1-CZ-ERA MUNDUS-EMMC Sustainable Constructions under natural hazards and catastrophic events - **Design for fire and robustness:** part2 Robustness - Jean Francois Demonceau & Florea Dinu

   EXPERIMENTAL RESEARCH ON THE BEHAVIOR OF STEEL MOMENT FRAME CONNECTIONS UNDER COLUMN LOSS SCENARIO Florea Dinu ^{1,2} , Ioan Marginean ¹ , Dan Dubina ^{1,2} , Ioan Petran ³ , Andreea Sigauan ¹    ¹ Politehnica University of Timișoara ² Romanian Academy, Timisoara Branch ³ Technical University of Cluj Napoca	 ECCS TC 10 Meeting, London September 29-30, 2016 Recommendations for collapse prevention design of moment steel beam-to-column connections  Ioan Marginean, Florea Dinu, Dan Dubina Politehnica University Timisoara 
--	---

 Structural response of multi-storey steel building frames to external blast loading Florea Dinu ^{1,2(*)} , Andreea Șigăuan ¹ , Ioan Mărginean ¹ , Dan Dubină ^{1,2} , Emilian Ghicioi ³ ^a Politehnica University Timisoara, Romania ^b Romanian Academy, Timisoara Branch ^c National Institute for Research and Development in Mine safety and Protection to Explosion, Petrosani, Romania (*) florea.dinu@upt.ro  	 Influence of composite slabs and beams on the progressive collapse resistance of steel frame buildings Florea Dinu ^{1,2(*)} , Ioan Mărginean ¹ , Andreea Șigăuan ¹ , Dan Dubină ^{1,2} ^a Politehnica University Timisoara, Romania ^b Romanian Academy, Timisoara Branch (*) florea.dinu@upt.ro  
---	---

Robustness Criteria for Design of Multi-storey Steel Structures to Collapse Prevention Limit State

A. Sigauan^a, D. Dubina^{a,b}, F. Dinu^{a,b}
^a Politehnica University of Timișoara

^b Romanian Academy, Timisoara Branch

The 11th Pacific Structural Steel Conference

October 29-31, 2016 Shanghai • China

Selected Failure Scenarios for Collapse Prevention Design of Multistory Steel Building Frames

A. Sigauan^a, F. Dinu^{a,b}, D. Dubina^{a,b}
^a Politehnica University of Timișoara

^b Romanian Academy, Timisoara Branch

ICEFA VII
Seventh International Conference
on Engineering Failure Analysis
3 – 6 July 2016 Leipzig, Germany

Column removal considerations for resistance to progressive collapse of steel frame buildings
A. Sigauan*, F. Dinu **, J. Marginean*, D. Dubina*** and C. Neagu*

*Politehnica University Timisoara, Romania
**Romanian Academy, Centre for Advanced and Fundamental Technical Sciences, Timisoara, Romania

Abstract

- Multi-story steel frame buildings need to withstand accidental actions, that is, actions which are not normal and are associated with level of protection LOP (LOD-HOP).
- The approaches that are used for reducing the risk of progressive collapse include the use of robust structural systems and the use of passive devices.
- Direct design methods are often preferred to the use of numerical models to resist the effects of the local failure, i.e. column loss (lateral load path modification). In such cases, the resulting frame must include the dynamic effects (loading, material response).
- Experimental and numerical studies were performed to evaluate the response of structures to progressive collapse scenarios.
- The response following the rational removal of a column was compared to direct numerical analysis caused by charges of different weights and stand-off distances.

Goals

- Experimental validation of progressive collapse resistance of multi-story steel frames in case of column removal.
- Validation of numerical models for direct evaluation of structural response in case of blast loading.
- Blast tests on steel frames with explosives placed close to the columns:

 - Column weak axis
 - Column strong axis

Experimental program

- Blast tests inside bunker
- First tests: detonations of small explosive charges m1, m2, m3, m4 (m1 = 1 kg, m2 = 2 kg, m3 = 4 kg, m4 = 8 kg) at distance 1.0 m from the column
- Blast tests on steel frames with explosives placed close to the column:

 - Column weak axis
 - Column strong axis

Calibration of the numerical models - ELS

- The performance of the steel specimens undergoing close range detonations was evaluated using ELS

Parametric study

- Evaluation of response of steel moment frames when subjected to different blast loads.
- 6 stories, 4 spans and 4 bays MFRs, designed for gravity loads and seismic α_s .
- Charge weight W: 20, 50, 100 kg TNT; Stand-off distance D: 0.2, 0.5, 1.0 m;
- Stand-off distance Z varied from 0.045 to 0.368 m (kg/m^2); Gravity loads from experimental tests were considered (1.0 g) and incremented by 5% for progressive collapse initiation

Z (m)	D (m)	W (kg TNT)	Calculus state
0.2	0.2	0.075	Total loss
0.2	0.2	0.150	Residual capacity increased
0.2	0.2	0.300	Residual capacity decreased
0.5	0.2	0.150	Total loss
0.5	0.2	0.300	Residual capacity increased
0.5	0.5	0.300	Total loss
1.0	0.2	0.275	Residual capacity (weak axis)
1.0	0.2	0.550	Residual capacity (strong axis)
1.0	0.5	0.300	Total loss
1.0	1.0	0.300	Residual capacity (weak axis)
1.0	1.0	0.600	Residual capacity (strong axis)

Conclusions

- Blast charges located at very close distance can produce large damages in the frame, especially if they are placed close to the columns or near the beam-column elements - punching or shear-type failure can develop before the element being able to respond.
- At short distances, blast effects can be more damaging due to overpressure affecting more elements.
- More studies are necessary to fully investigate the response of frame buildings in case of close range detonation.

Funding for this research was provided by the Executive Agency for Higher Education, Research, Development and Innovation Funding, Romania, under grant PCCA 55/2012 "Structural conception and collapse control performance based design of multistory structures under accidental actions" (2012-2016).

7. Bibliografie

- [1] MDRAP, P100-1/2013. Cod de proiectare seismică. Part 1: Earthquake Resistant Design of buildings., 2013, Bucuresti
- [2] SAP 2000 Advanced Structural Analysis Program, Version 12. 2010, Computers and Structures, Inc. (CSI): Berkeley, CA.
- [3] STEEL CONnection 2015.355 - program for the design of bolted and welded steel connections. 2015, FIDES DV-Partner Munich, Germany.
- [4] CEN, EN 1998-1, Eurocode 8: Design of structures for earthquake resistance-part 1: general rules, seismic actions and rules for buildings, 2005, Brussels
- [5] CEN, EN 1993-1-8, Eurocode 3: Design of steel structures - Part 1-8: General rules - Design of joints, 2005, Brussels
- [6] FEMA-350 Recommended Seismic Design Criteria for New Steel Moment-Frame Buildings 2000,
- [7] ANSI, A, Aisc 358-10 Prequalified connections for special and intermediate steel moment frames for seismic applications, 2014, Chicago, USA
- [8] Abaqus 6.14-4 2014, Dassault Systèmes Simulia Corp.: Providence, RI.
- [9] ELS, Extreme loading for structures (Version 3.1). 2010, Applied Science International: Durham, NC.